

А.Д. Быков, Т.М. Кадошникова, Г.Е. Сабинина, В.И. Сердюков, Л.Н. Синица

ПОЛОСА 3v₃ МОЛЕКУЛЫ HD¹⁶O

Зарегистрирован спектр поглощения HD¹⁶O в диапазоне 10280...10770 см⁻¹ на внутрирезонаторном спектрометре с лазером на LiF: F₂⁺-центрах окраски. При идентификации линий определены уровни энергии состояния 003, решена обратная задача, определены вращательные и центробежные постоянные.

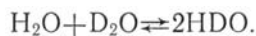
Интерес, проявляемый к исследованию спектров высокого разрешения молекулы HD¹⁶O, обусловлен рядом причин. Во-первых, пары HD¹⁶O присутствуют в атмосфере и вносят заметный вклад в поглощение в средней ИК-области. Во-вторых, колебательно-вращательные спектры изотопных модификаций воды представляют дополнительную информацию, необходимую для восстановления параметров внутримолекулярной потенциальной функции, дипольного момента молекулы. И наконец, молекула HD¹⁶O, как и другие изотопомеры воды, принадлежит классу легких асимметричных волчков, имеющих ряд особенностей в энергетическом спектре, и изучение ее высоковозбужденных вращательных и колебательных состояний необходимо для теоретического анализа влияния внутримолекулярных взаимодействий на формирование спектра.

Спектры поглощения HD¹⁶O достаточно подробно изучены в микроволновой, далекой и средней ИК-области, уровни энергии, вращательные и центробежные постоянные представлены в [1—10] для состояний с энергией меньше 9300 см⁻¹. В данной работе приводятся результаты регистрации и анализа спектра поглощения в области 0,94 мкм.

1. Для регистрации спектра поглощения использовался внутрирезонаторный спектрометр на основе LiF: F₂⁺-лазера. Резонатор лазера состоял из плоского (коэффициент отражения 90%) и сферического (коэффициент отражения 99,9%) зеркал, дисперсионной призмы. Использовался активный элемент — кристалл LiF: F₂⁺ размерами 4×10×10 мм, общая длина резонатора 60 см. Накачка LiF: F₂⁺-лазера осуществлялась по продольной схеме излучением рубинового лазера (длительность квазинепрерывной генерации 900 мкс, энергия 3 Дж). Излучение накачки фокусировалось на кристалл с помощью линзы с фокусным расстоянием 20 см. Получена квазинепрерывная генерация длительностью 400 мкс, что обеспечивает чувствительность 10⁻⁷ см⁻¹. Для устранения поглощения линиями атмосферы применялся вакуумизированный резонатор.

Регистрация спектра генерации лазера осуществлялась спектрографом, собранным на базе автоколлимационной камеры УФ-90 и дифракционной решетки 300 штр/мм. Обратная линейная дисперсия составила 0,1 нм/мм, спектральное разрешение 0,05 см⁻¹.

Первоначально были зарегистрированы в области 0,94 мкм и интерпретированы спектры поглощения H₂¹⁶O и D₂¹⁶O. Молекула HDO не может регистрироваться независимо, поскольку всегда существует равновесная смесь трех изотопов водяного пара:



Поэтому нами регистрировался спектр поглощения равновесной смеси H₂O, D₂O и HDO (общее давление 10 торр, температура 296 К), а присутствующие в спектре линии поглощения основной модификации использовались в качестве реперных, относительно которых положение центров линий HDO измерялось с погрешностью менее 0,05 см⁻¹.

2. Анализ спектра, идентификация линий проводились следующим образом. Предварительно были проведены оценки интегральных интенсивностей, центров полос, вращательных постоянных HD¹⁶O, D₂¹⁶O для полос, попадающих в исследуемый диапазон. Для этого использовались изотопические соотношения [11], оценки ангармонических [12], колебательно-вращательных [13] постоянных, интегральные интенсивности некоторых полос H₂¹⁶O. Для расчета центров полос несимметричной модификации предварительно решалась обратная колебательная задача по имеющимся в литературе экспериментальным данным для 13 полос по методу, изложенному в [12]. Для предварительного расчета вращательных постоянных HD¹⁶O анализировались имеющиеся в литературе данные по колебательно-вращательным уровням энергии молекулы. Для ряда состояний вращательные постоянные не определены, в этом случае решалась обратная задача с уровнями до $J \leq 3$ и находились значения колебательной энергии, постоянных A, B, C, Δ_k. Далее по методу наименьших квадратов, так же как это проведено в [13] для основной модификации, находились колебательно-вращательные постоянные, определяющие зависимость вращательных постоянных от колебательных квантовых чисел. Найденные значения использовались для оценок спектроскопических параметров HD¹⁶O.

Таблица 1

Вращательные и центробежные постоянные состояния 003 HD¹⁶O (в см⁻¹)

Параметр	Значения постоянных	Доверительный интервал
E	10631,587 ₂₉	0,021
A	20,5571 ₁₅	0,0057
B	9,0647 ₆₃	0,0014
C	6,1682 ₅₄	0,0010
$\Delta_K \cdot 10^2$	6,815 ₉₂	0,039
$\Delta_{JK} \cdot 10^3$	1,01 ₆₇	0,11
$\Delta_J \cdot 10^4$	3,371 ₀₃	0,087
$\delta_K \cdot 10^3$	3,508 ₅₆	0,087
$\delta_J \cdot 10^4$	1,023 ₈₅	0,044
$H_K \cdot 10^3$	4,5671 ₄₂	0,0075
$H_{KJ} \cdot 10^6$	-7,1 ₈₉	3,3
$H_{JK} \cdot 10^6$	2,81 ₄₃	0,50
$H_J \cdot 10^8$	8,7 ₇₈	2,7
$h_K \cdot 10^4$	2,387 ₃₆	0,075

Результаты предварительных расчетов позволили определить положение и относительные силы линий в спектре. В исследуемый диапазон 10280...10770 см⁻¹ попадают линии четырех полос HD¹⁶O. Это переходы с основного состояния на состояния 003, 211, 131 и 051. Линии поглощения D₂¹⁶O могут принадлежать трем полосам, соответствующим переходам на 103, 202, 301. Кроме того, в этот же диапазон попадают линии полос v₁+2v₃, 2v₁+v₃, v₁+2v₂+v₃ основного изотопа.

Наиболее сильной полосой молекулы D₂¹⁶O в указанном спектральном районе является полоса 3v₁+v₃ с центром 10371 см⁻¹, полоса 3v₁+v₃ на порядок слабее, полоса 2v₁+2v₃ еще слабее. Наиболее сильными полосами HD¹⁶O являются 3v₃ и с центром 10623 см⁻¹ и 2v₁+v₂+v₃ около 10399 см⁻¹, линии полос v₁+3v₂+v₃, 5v₂+v₃ очень слабые и, по-видимому, в спектре не проявляются. Таким образом, в спектрах исследуемых образцов в диапазоне 10280...10770 см⁻¹ следует в первую очередь интерпретировать линии полосы 3v₃ HD¹⁶O.

Идентификация линий проводилась методом комбинационных разностей нижнего состояния. Уровни энергии основного колебательного состояния рассчитывались по спектроскопическим параметрам из [1]. Одновременно с идентификацией линий решалась обратная задача, уточнялись вращательные и центробежные постоянные состояния 003 HD¹⁶O, что позволяло более точно оценить положение линий с большими значениями квантового числа углового момента в спектре и контролировать отнесение линий. По результатам идентификации определялись энергетические уровни как среднее арифметическое по нескольким линиям, а также среднеквадратическая ошибка.

3. В результате анализа спектра найдено 111 уровней энергии для состояния 003 HD¹⁶O, соответствующих $J \leq 15$ и $K_a \leq 6$, с точностью от 0,01 до 0,06 см⁻¹, причем для большинства уровней среднеквадратическая ошибка не превышает 0,03 см⁻¹. Как правило, уровень определялся по трем-четырем линиям, в отдельных случаях по шести. При этом использовались только те линии поглощения HD¹⁶O, центры которых не перекрываются с линиями основной изотопной модификации.

Предварительный анализ показал, что колебательное состояние 003 является изолированным и возможными резонансами можно пренебречь. Действительно, ближайшие по значению колебательной энергии состояния молекулы 211 и 131 (отстоящие от 003 более чем на 150 см⁻¹) дают большое суммарное изменение колебательных квантовых чисел, так что ведущие члены недиагонального матричного элемента, который мог бы вызвать резонанс, определяются пентичными и секстичными ангармоническими постоянными. В то же время матричные элементы, соответствующие резонансам Кориолиса и Ферми, связывают с исследуемыми состояниями, отстоящими на 700 и более обратных сантиметров. Вследствие этого для определения вращательных и центробежных постоянных использовалась безрезонансная модель — гамильтониан Уотсона [14]:

$$H = E + \left(A - \frac{B + C}{2} \right) J_z^2 + \frac{B + C}{2} J^2 + \frac{B - C}{2} J_{xy}^2 - \Delta_K J_z^2 - \Delta_{JK} J_z^2 J_z^2 - \Delta_J (J^2)^2 - \delta_K \{ J_z^2, J_{xy}^2 \} - 2\delta_J J_z^2 J_{xy}^2 + H_K J_z^6 + H_{KJ} J_z^2 J_z^4 + H_{JK} (J^2)^2 J_z^2 + H_J (J^2)^3 + h_K \{ J_z^4, J_{xy}^2 \},$$

где

$$J^2 = J_x^2 + J_y^2 + J_z^2; J_{xy}^2 = J_x^2 - J_y^2; \{A, B\} = AB + BA.$$

Таблица 2

Уровни энергии состояния 003 HD¹⁶O (в см⁻¹)

<i>J</i>	<i>K_a</i>	<i>K_c</i>	<i>E_{эксп}</i>	<i>E_{выч}</i>	<i>J</i>	<i>K_a</i>	<i>K_c</i>	<i>E_{эксп}</i>	<i>E_{выч}</i>
0	0	0	10631,65	10631,59	5	1	4	10890,05	10890,06
1	0	1	10646,87	10646,82	5	2	4	10909,27	10909,22
1	1	1	10658,17	10658,25	5	2	3	10922,89	10922,76
1	1	0	10661,04	10661,13	5	3	3	10976,11	10976,09
2	0	2	10676,82	10676,79	5	3	2	10977,52	10977,46
2	1	2	10685,74	10685,82	5	4	2	11069,05	11068,99
2	1	1	10694,40	10694,47	5	4	1	11069,05	11069,03
2	2	1	10728,23	10728,21	5	5	1	11211,62	11211,64
2	2	0	10728,72	10728,69	5	5	0	11211,62	11211,65
3	0	3	10720,64	10720,61	6	0	6	10927,12	10927,11
3	1	3	10726,82	10726,89	6	1	6	10928,16	10928,25
3	1	2	10744,09	10744,11	6	1	5	10984,63	10984,59
3	2	2	10773,92	10773,85	6	2	5	10998,26	10998,23
3	2	1	10776,22	10776,18	6	2	4	11021,88	11021,82
3	3	1	10837,36	10837,38	6	3	4	11068,64	11068,64
3	3	0	10837,38	10837,43	6	3	3	11072,52	11072,49
4	0	4	10777,37	10777,30	6	4	3	11161,56	11161,53
4	1	4	10781,13	10781,16	6	4	2	—	11161,71
4	1	3	10809,54	10809,56	6	5	2	11303,62	11303,58
4	2	3	10834,33	10834,30	6	5	1	11303,63	11303,58
4	2	2	10840,83	10840,78	6	6	1	11540,27	11540,21
4	3	2	10898,93	10898,97	6	6	0	11540,27	11540,21
4	3	1	10899,35	10899,33	7	0	7	11020,10	11020,06
4	4	1	—	10992,12	7	1	7	11020,60	11020,63
4	4	0	—	10992,12	7	1	6	11091,99	11092,02
5	0	5	10846,25	10846,20	7	2	6	11100,96	11100,89
5	1	5	10848,30	10848,36	7	2	5	11137,26	11137,26
7	3	5	11176,30	11176,39	9	5	5	11673,28	11673,20
7	3	4	11184,94	11185,09	9	5	4	11673,49	11673,40
7	4	4	11269,67	11269,82	10	0	10	11371,68	11371,66
7	4	3	11270,47	11270,46	10	1	10	11371,68	11371,73
7	5	3	11410,94	11411,08	10	1	9	11485,45	11485,41
7	5	2	11410,96	11411,10	10	2	9	11487,00	11487,02
7	6	2	11647,04	11647,05	10	2	8	11571,54	11571,61
7	6	1	11470,04	11470,05	10	3	8	11587,27	11587,25
8	0	8	11125,13	11125,11	10	3	7	11629,11	11629,08
8	1	8	11125,42	11125,39	10	4	7	11688,99	11689,01
8	1	7	11211,53	11211,50	10	4	6	11698,24	11698,19
8	2	7	11216,83	11216,82	10	5	6	11827,99	11828,00
8	2	6	11268,05	11268,14	11	0	11	11513,13	11513,21
8	3	6	11299,12	11299,03	11	1	11	11513,13	11513,13
8	3	5	11315,63	11315,61	11	1	10	11639,96	11639,92
8	4	4	11395,62	11395,71	11	2	10	11640,74	11640,77
8	5	4	11534,16	11534,25	11	3	9	11751,91	11751,88
8	6	3	11769,27	11769,28	11	3	8	11810,48	11810,40
9	0	9	11242,32	11242,31	11	4	7	11876,43	11876,54
9	1	9	11242,52	11242,45	11	5	7	11998,70	11998,71
9	1	8	11342,59	11342,64	12	0	12	11666,85	11666,82
9	2	8	11345,64	11345,63	12	1	12	11666,85	11666,83
9	2	7	11413,23	11413,32	12	1	11	11806,24	11806,27
9	3	7	11436,21	11436,14	12	2	11	11806,84	11806,71
9	3	6	11463,81	11463,84	12	2	10	11923,66	11923,66
9	4	6	11533,60	11533,67	13	0	13	11832,60	11832,57
9	4	5	11538,07	11538,07	13	1	13	11832,60	11832,58
					13	2	12	11984,70	11984,72
					14	0	14	12010,50	12010,42
					14	1	14	12010,50	12010,43
					14	1	13	12174,58	12174,57
					15	0	15	12200,34	12200,34
					15	1	15	12200,34	12200,34

Полученные в результате решения обратной задачи параметры гамильтонiana, а также 68%-ные доверительные интервалы приведены в табл. 1. В табл. 2 представлены найденные из частот переходов и рассчитанные с параметрами уравнения уровни энергии. В первых трех графах табл. 2 приведены квантовые числа *J*, *K_a*, *K_c*, в четвертой экспериментальные уровни, в последней — результаты расчета.

Из данных, приведенных в табл. 2, видно, что согласие вычисленных и найденных из спектра энергетических уровней вполне удовлетворительное — стандартное отклонение составляет 0,06 см⁻¹, в целом воспроизведение экспериментальных уровней характеризуется следующими соотношениями ($\delta = |E_{\text{эксп}} - E_{\text{выч}}|$):

$\delta \leqslant 0,03$	см $^{-1}$	для	49,1%	всех уровней
0,03 < $\delta \leqslant 0,06$	„	„	22,3%	„
0,06 < $\delta \leqslant 0,09$	„	„	22,3%	„
0,09 < δ	„	„	6,3	„

Данные табл. 1 и 2 представляют энергетическую структуру наиболее высокого из известных колебательных состояний HD¹⁶O.

1. Messer J. K., De Lucia F. C., Helminger P. //J. Mol. Spectrosc. 1984. V. 105. P. 139.
2. Benedict W. S., Gilar N., Plyler E. K. //J. Chem. Phys. 1959. V. 24. P. 1139.
3. Johns J. W. S. //J. Opt. Soc. Am. 1985. V. B2. P. 1340.
4. Toth R. A., Gupta V. D., Brault J. W. //Appl. Opt. 1982. V. 21. P. 3337.
5. Toth R. A., Brault J. W. //Appl. Opt. 1983. V. 22. P. 908.
6. Perrin A., Flaud J.-M., Camy-Peyret C. //J. Mol. Spectrosc. 1985. V. 112. P. 153.
7. Perrin A., Camy-Peyret C., Flaud J.-M. //Can. J. Phys. 1986. V. 64. P. 736.
8. Bykov A. D., Lopasov V. P., Makushkin Yu. S. et all. //J. Mol. Spectrosc. 1982. V. 94. P. 1.
9. Bykov A. D., Makushkin Yu. S., Serdyukov V. I. et al. //J. Mol. Spectrosc. 1984. V. 105. P. 397.
10. Papineau N., Camy-Peyret C., Flaud J.-M. //J. Mol. Spectrosc. 1982. V. 92. P. 451.
11. Быков А. Д., Макушкин Ю. С., Улеников О. Н. Изотопозамещение в многоатомных молекулах. Новосибирск: Наука, 1985.
12. Быков А. Д., Макушкин Ю. С., Улеников О. Н. //Оптика и спектроскопия. 1984. Т. 56. С. 425.
13. Брюханов В. Н., Быков А. Д., Макушкин Ю. С. и др. //Оптика и спектроскопия. 1983. Т. 54. С. 916.
14. Watson J. K. G. //J. Chem. Phys. 1967. V. 46. P. 1935.

Институт оптики атмосферы АН СССР,
Томск

Поступила в редакцию
26 апреля 1989 г.

A. D. Bykov, T. M. Kadoshni'kova, G. E. Sabinina, V. I. Serdyukov,
L. N. Sinitsa. **The 3v₃ Band of HD¹⁶O Molecule.**

The spectrum of HD¹⁶O in the range 10280 to 10770 cm $^{-1}$ was recorded using a color-center LiF: F $_2^+$ laser intra-cavity spectrometer. Interpretation of the spectral lines observed yielded the determination of the 003 state energy levels and the solution of inverse problem. As a result the rotational and centrifugal constants were determined.